

Сообщения
Объединенного
Института
Ядерных
Исследований
дубна

P2-94-464

М.П.Дучева, В.А.Мещеряков, В.К.Хеннер

МНОГОКАНАЛЬНЫЙ АНАЛИЗ
НИЗКОЭНЕРГЕТИЧЕСКИХ
НУКЛОН-АНТИНУКЛОННЫХ
ВЗАИМОДЕЙСТВИЙ
С ИСПОЛЬЗОВАНИЕМ
МОДИФИЦИРОВАННОГО
М-МАТРИЧНОГО МЕТОДА

1994

Многоканальный анализ низкоэнергетических
нуклон-антинуклонных взаимодействийс использованием модифицированного *M*-матричного метода

В данной работе процессы упругого $p\bar{p}$ -рассеяния, перезарядки $p\bar{p} \rightarrow n\bar{n}$ и $p\bar{p}$ -аннигиляции исследуются на основе многоканального *M*-матричного метода. Исходный метод был модифицирован путем включения динамических сингулярностей, обусловленных *t*-канальными мезонными обменами, и применением конформного преобразования, расширяющего область сходимости рядов эффективного радиуса, содержащихся в *M*-матричном подходе. Удовлетворительно описаны существующие экспериментальные данные в области импульсов до 600 МэВ/с. Большой вклад *p*-волн при низких энергиях обусловлен связанным состоянием вблизи порога.

Работа выполнена в Лаборатории теоретической физики им. Н.Н.Бого-любова ОИЯИ.

Сообщение Объединенного института ядерных исследований. Дубна, 1994

Перевод авторов

Ducheva M.P., Meshcheryakov V.A., Henner V.K.

P2-94-464

Multichannel Analysis of Low Energy

Nucleon-Antinucleon Interactions

with the Help of Modified *M*-Matrix Method

The processes of elastic $p\bar{p}$ -scattering, charge-exchange $p\bar{p} \rightarrow n\bar{n}$ reaction and $p\bar{p}$ -annihilation have investigated on the base of multichannel *M*-matrix method. The original method was modified by including the dynamic singularities due to *t*-channel meson exchange and by using the conform transformations to expand the applicability of the effective range expansion of the *M*-matrix approach. The developed model satisfactorily describes the experimental data. The important role of the *p*-wave is a result of the bound state near the threshold.

The investigation has been performed at the Bogoliubov Laboratory of Theoretical Physics, JINR.

Введение

В настоящее время существует достаточно обширная информация о $N\bar{N}$ -взаимодействиях при низких энергиях.

Две главных черты протон-антипротонных реакций при низких энергиях существенно отличают их от pp -взаимодействий. Во-первых, это сильная аннигиляция в $p\bar{p}$ -системе в отличие от pp -реакций, где процессы аннигиляции отсутствуют. Во-вторых, это высокая анизотропия упругого $p\bar{p}$ -рассеяния и реакции переизарядки $p\bar{p} \rightarrow p\bar{n}$, возникающая за счет интерференции между s - и более высокими волнами, в то время как при аналогичных энергиях в pp -взаимодействиях существенна только s -волну.

Одной из интересных особенностей экспериментальных данных является также необычное поведение отношения действительной и мнимой частей амплитуды упругого $p\bar{p}$ -рассеяния вперед, $\rho = Re f_{p\bar{p}} / Im f_{p\bar{p}}|_{\theta=0}$, которое велико и отрицательно при нулевой энергии налетающего антипротона, быстро растет с ростом P_{lab} и имеет несколько нулей.

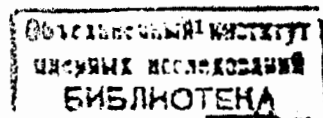
Характерные расстояния в низкоэнергетических упругих и аннигиляционных $p\bar{p}$ -взаимодействиях порядка 1 фм, и на таких расстояниях теория возмущений КХД не применима. В этой ситуации феноменологический анализ данных проводился с использованием различных потенциальных моделей [1-5], однако такой анализ является существенно модельно-зависимым.

Другой анализ был выполнен в рамках приближения эффективного радиуса [6,7,8], и, в противоположность предыдущему, является практически модельно-независимым. Этот анализ явно учитывает аналитичность и унитарность амплитуд рассеяния в схеме M -матричного формализма [9,10].

Предметом особого интереса является вопрос о резонансах (или бариониумах) и связанных состояниях в $p\bar{p}$ -системе. Эти связанные обсуждались ранее в работах [28-30].

M -матричный формализм

Коротко напомним основные сведения об M -матричном формализме, предло-



женном M.Ross и G.Shaw[9,10] для рассмотрения системы нескольких двухчастичных каналов. Для парциальных амплитуд $T_{ij} \equiv \langle j | T_i | i \rangle$ условие унитарности имеет вид

$$T_{ij} - T_{ij}^+ = 2i \sum_n T_{in}^+ T_{nj}, \quad (1)$$

где i, j, n - номера рассматриваемых каналов. В случае низкоэнергетического $N\bar{N}$ -рассеяния возможны следующие каналы: $p\bar{p}$, $n\bar{n}$ и множество каналов аннигиляции. Обычно все неупругие процессы не выделяют как самостоятельные каналы, а их учет производится с помощью объявления матричных элементов M_{ij} комплексными [11].

Этот путь наиболее прост, однако он не дает никакой информации об амплитудах неупругих каналов. Другой способ эффективно учесть все аннигиляционные каналы состоит в замене их одним двухчастичным каналом, который открывается при энергиях, равных энергии образования двух частиц некоторой эффективной массы m_0 [12]. Тогда все $N\bar{N}$ -взаимодействия при низких энергиях можно описать в рамках трехканальной задачи: $p\bar{p}$, $n\bar{n}$ и канала аннигиляции. Импульсы в системе центра инерции для каждого из каналов будут иметь вид

$$k_{p\bar{p}} = \sqrt{\frac{s - 4m_p^2}{4}}, \quad k_{n\bar{n}} = \sqrt{\frac{s - 4m_n^2}{4}}, \quad k_{ann} = \sqrt{\frac{s - 4m_0^2}{4}}.$$

Для амплитуд f_{ij} , которые определяются соотношением

$$\hat{T} = \hat{k}^{l+1/2} \hat{f} \hat{k}^{l+1/2}$$

(\hat{k} -диагональная матрица импульсов $k_{ij} = k_i \delta_{ij}$ и k_i -соответствующие импульсы в системе центра масс), условие унитарности перепишется в форме

$$Im \hat{f}^{-1} = -\hat{k}^{2l+1}. \quad (2)$$

Равенство (2) будет удовлетворено автоматически, если \hat{f} записать в виде (индекс l для f_{ij} и M_{ij} в дальнейшем опускается для упрощения записи)

$$\hat{f} = (\hat{M} - i\hat{k}^{2l+1})^{-1}, \quad (3)$$

где $\hat{M}(s)$ - симметричная матрица из действительных на разрезе $s > 4m_0^2$ функций.

Формулировка модели и переход к униформизирующей переменной

Амплитуда рассеяния является аналитической функцией в плоскости комплексной переменной s с разрезами (рис.1).

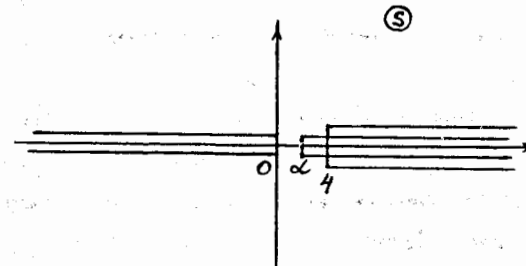


Рисунок 1. Плоскость комплексной переменной s .

$s = 0$, αm_p^2 , $4m_p^2$ — точки ветвления корневого типа. На разрезе $s \geq 4m_p^2$ существует также еще одна точка ветвления корневого характера $s = 4m_n^2$, отвечающая $n\bar{n}$ -порогу, влияние ее на амплитуду рассеяния изучалось в работах [12-14]. В настоящей работе при переходе к униформизирующему переменной мы не учитываем особенность амплитуд в точке $s = 4m_n^2$, а разницу между каналами $p\bar{p}$ и $n\bar{n}$ учитываем кинематически. Это означает, что для каждого из каналов $p\bar{p}$ и $n\bar{n}$ вводятся разные импульсы: k_1 и k_2 соответственно. Интервал $4m_p^2 \leq s < 4M^2$ (M отвечает значению $P_{lab} \simeq 1$ ГэВ/с - параметру шкалы низкоэнергетических взаимодействий) содержит в себе большое количество точек ветвления за счет мно-гопионных процессов, но ими мы также пренебрегаем, поскольку в поведении полного сечения $\sigma_{tot}(p\bar{p})$ на этом интервале не наблюдается какой-либо структуры.

Левее $s = 4m_p^2$ расположена нефизическая часть разреза, также содержащая в себе некоторое конечное число точек ветвления. Их вклад в амплитуду моделируется некоторой эффективной точкой ветвления $s = \alpha m_p^2 = 4m_0^2$, открывающей двухчастичный канал неупругих наблюдаемых процессов. Величина параметра α ограничена снизу значением, соответствующим энергии образования двух π -ме-

зонов, а сверху $p\bar{p}$ - порогом. Таким образом, параметр α может изменяться на промежутке $4m_p^2/m_p^2 < \alpha < 4$. Левый разрез $s \leq 0$ связан с перекрестным процессом $p\bar{p} \rightarrow p\bar{p}$.

Окончательно мы приходим к модели, в которой амплитуда рассеяния как функция комплексной переменной s обладает тремя точками ветвления корневого типа при $s = 0, \alpha m_p^2, 4m_p^2$ и представляется мероморфной функцией на своей римановой поверхности.

Существенным в настоящей работе является переход к униформизирующей переменной, введенной ранее в [15] для описания амплитуды $p\bar{p}$ -рассеяния вперед. Униформизирующей переменной называется переменная, в которой амплитуда рассеяния является мероморфной функцией. Такая переменная имеет вид:

$$z = \left(\frac{4}{4-\alpha}\right)^{\frac{1}{2}} \left(\frac{s-\alpha}{s}\right)^{\frac{1}{2}} - \left(\frac{\alpha}{4-\alpha}\right)^{\frac{1}{2}} \left(\frac{s-4}{s}\right)^{\frac{1}{2}}. \quad (4)$$

Здесь используются нормированные на массу протона m_p значения s и α .

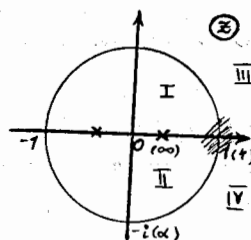


Рисунок 2. Плоскость комплексной переменной z .

Точки ветвления s -плоскости соответствуют точкам аналитичности мероморфной функции в плоскости z : $(0, \alpha, 4)_s \iff (0, -i, 1)_z$. Бесконечно удаленная точка комплексной s -плоскости переходит в точки $\pm\sqrt{\frac{2-\sqrt{\alpha}}{2+\sqrt{\alpha}}}, \pm\sqrt{\frac{2+\sqrt{\alpha}}{2-\sqrt{\alpha}}}$ плоскости z . Строго говоря, эти точки будут являться логарифмическими точками ветвления, так как в них соединяются между собой бесконечное число листов римановой поверхности функции $f(z)$, соответствующих порогам многочастичных процессов при высоких энергиях, поэтому задача не до конца униформизируется. Физический лист переходит

в нижнюю половину единичного круга. Участки действительной оси z - плоскости $\left[-1, -\sqrt{\frac{2-\sqrt{\alpha}}{2+\sqrt{\alpha}}}\right]$ и $\left(\sqrt{\frac{2-\sqrt{\alpha}}{2+\sqrt{\alpha}}}, 1\right]$ являются образами соответственно нижнего и верхнего берегов разреза физической области.

Переход к униформизирующей переменной имеет большое значение для данной задачи, поскольку область сходимости разложения, а значит и область применимости всех теоретических выкладок, увеличивается. Действительно, радиус сходимости любого разложения определяется ближайшей особенностью, поэтому для его увеличения достаточно перейти к другой переменной, где эта особенность каким-то образом отодвинется или учитывается явно и таким образом не будет содержаться в амплитудах. Наша униформизирующая переменная позволяет явно учесть три существенные точки ветвления $s = 0, \alpha m_p^2, 4m_p^2$, поэтому мы вправе ожидать, что результаты теоретических выкладок будут давать корректное описание экспериментальных данных в достаточно широком диапазоне импульсов.

Метод эффективного радиуса основывается на разложении в ряд матричных элементов M_{ij} по малым импульсам одного из каналов. В данной работе используется представление M - матрицы в виде ряда по степеням z . Мы хотим, чтобы разложение работало в окрестности точки $z = 1$, отвечающей $p\bar{p}$ -порогу. Эта точка с двух сторон окружена точками ветвления $z = \sqrt{\frac{2-\sqrt{\alpha}}{2+\sqrt{\alpha}}}, z = \sqrt{\frac{2+\sqrt{\alpha}}{2-\sqrt{\alpha}}}$, которые возникают при отображении бесконечно удаленной точки $s = \infty$ на каждый из листов четырехлистной римановой поверхности. Разложение в ряд Тейлора около $z = 1$ (аналог разложения эффективного радиуса) работало бы лишь в области, заштрихованной на чертеже; но этого недостаточно, т.к. симметричная точка $z = -1$ (результат отображения $p\bar{p}$ -порога на нижнем берегу разреза) не включается в рассмотрение. Чтобы этого избежать, нужно соблюдать симметрию относительно нуля и работать в кольце между оставшимися особенностями. Для такой постановки задачи вполне пригоден ряд Лорана, построенный в окрестности $z = 0$:

$$M(z) = \sum_{n=-\infty}^{\infty} M_n z^n. \quad (5)$$

Он будет сходиться в кольце с неточно известными радиусами, содержащем единичную окружность. Можно привести некоторые соображения, вследствие которых в разложении (5) следует оставить лишь четные степени z .

- Во-первых, это требование действительности M -матрицы на отрезке действительной оси $(0, \alpha)$ комплексной s -плоскости. Очевидно, что при переходе в плоскость униформизирующей переменной это требование остается в силе, поэтому на промежутке $(-i, i)_z$ (образ отрезка $(0, \alpha)_s$), где z - чисто мнимая величина, коэффициенты M_n должны быть действительными, а степени z должны быть четными.

- Во-вторых, это условие симметричности M -матрицы относительно замены z на $-z$. Известно, что M -матрица должна быть одинаковой на двух берегах разреза $s > 4m_p^2$ в согласии с условием унитарности, т.е. она не может изменяться при переходе с верхнего берега разреза на нижний. Образами верхнего и нижнего берегов на плоскости униформизирующей переменной являются отрезки действительной оси $\left(\sqrt{\frac{2-\sqrt{a}}{2+\sqrt{a}}}, 1\right]$ и $\left[-1, -\sqrt{\frac{2-\sqrt{a}}{2+\sqrt{a}}}\right)$, расположенные симметрично относительно точки $z = 0$. Тогда переход с одного берега на другой в плоскости z соответствует замене z на $-z$ в плоскости z . Такая замена не изменит вид M -матрицы только в том случае, если в разложении (5) останутся лишь четные степени переменной z .

Учитывая эти соображения, можно переписать выражения для элементов M -матрицы в виде

$$\begin{aligned} M(z) &= \sum_{n=-\infty}^{\infty} M_{2n} z^{2n} = \\ &= \cdots + M_{-2} \frac{1}{z^2} + M_0 + M_2 z^2 + \cdots \end{aligned} \quad (6)$$

Здесь M_{2n} - действительные величины. Полагая, что такой ряд будет быстро сходиться в окрестности единичной окружности, оставим несколько первых его членов

$$M(z) = M_2 z^2 + M_0 + M_{-2}/z^2.$$

Коэффициенты M_{2n} являются свободными параметрами в модифицированной модели эффективного радиуса.

Учет динамических сингулярностей

Одной из основных трудностей в использовании метода эффективного радиуса является оценка области сходимости разложения $M(s)$ в ряд по малым импульсам. Границы этой области определяются, как обычно, ближайшими особыми точками амплитуды рассеяния. В случае $N\bar{N}$ -рассеяния динамические особенности (полюсы), обусловленные t -канальными мезонными обменами ($\pi-$, $\rho-$, и т.д. мезоны), лежат очень близко к $N\bar{N}$ -порогу и, таким образом, вносят в амплитуду рассеяния быстро меняющиеся вклады, что может существенно ограничивать область применимости разложений эффективного радиуса. Для упругого $p\bar{p}$ -рассеяния и реакции перезарядки $p\bar{p} \rightarrow p\bar{n}$ положение ближайших к $p\bar{p}$ -порогу полюсов $s_{pol} = 4m_p^2 - \mu^2$, где μ - масса промежуточного мезона, и ниже мы аппроксимируем все полюсы одним эффективным.

Покажем на примере одноканального рассеяния ($p\bar{p} \rightarrow p\bar{p}$), как можно явно выделить полюсы, так чтобы $M(s)$ содержала бы только медленно меняющиеся вклады. Сделаем в формуле (3) следующую замену переменных

$$M^l \rightarrow \frac{s - s_{pol}}{g^l} M^l - \varepsilon |k_1^{2l+1}(s_{pol})|,$$

где g^l - вычет парциальной амплитуды $f^l(s)$ в точке полюса,

$$\varepsilon = \begin{cases} 1, & \text{при четных } l \\ -1, & \text{при нечетных } l \end{cases}$$

Тогда выражение для амплитуды рассеяния будет иметь вид

$$f^{(l)} = \frac{1}{\frac{s-s_{pol}}{g^l} M^{(l)} - ik_1^{2l+1} - \varepsilon |k_1^{2l+1}(s_{pol})|}, \quad \text{где} \quad (7)$$

$$k_1 = \sqrt{\frac{s - 4m_p^2}{4}}; \quad k_1(s_{pol}) = \sqrt{\frac{|s_{pol} - 4m_p^2|}{4}}.$$

Легко убедиться, что так записанная амплитуда рассеяния имеет полюс, связанный с динамической сингулярностью при $s = s_{pol}$.

В случае нескольких каналов замена переменных будет аналогичной, но вместо функций $M(s)$ и $f(s)$ появляются \hat{M} - и \hat{f} -матрицы:

$$M_{ij} \rightarrow \frac{s - s_{pol}}{g_{ij}^l} M_{ij} - \varepsilon |k_i^{2l+1}(s_{pol})| \delta_{ij},$$

Таким образом мы можем учесть динамические сингулярности в M -матричном подходе. В данном разделе мы рассматриваем явно только два канала $p\bar{p}$ и $n\bar{n}$, а все неупругие процессы учитываем при помощи введения комплексных коэффициентов разложения M -матрицы в ряд, как это было сделано ранее в работах [6,16].

Общий вид матрицы \hat{f} с включением динамических сингулярностей следующий:

$$\hat{f}(s) = \begin{pmatrix} \frac{s-s_{pol}}{g_{11}} M_{11}^l - ik_1^{2l+1} - \varepsilon |k_1^{2l+1}(s_{pol})| & \frac{s-s_{pol}}{g_{12}} M_{12}^l \\ \frac{s-s_{pol}}{g_{21}} M_{21}^l & \frac{s-s_{pol}}{g_{22}} M_{22}^l - ik_2^{2l+1} - \varepsilon |k_2^{2l+1}(s_{pol})| \end{pmatrix}^{-1}. \quad (8)$$

Теперь M_{ij} - гладкие функции, медленно меняющиеся вблизи порога, поэтому представление M_{ij} в виде ряда Тейлора будет более обоснованным. Для матричных элементов M_{ij} используется разложение эффективного радиуса, записанное в стандартной форме [9,10]

$$\begin{aligned} M_{ij}^{l=0} &= \frac{1}{a_{ij}} + \frac{1}{2} r_{ij} k_2^2, \\ M_{ij}^{l=1} &= \frac{1}{b_{ij}} - \frac{3}{2} \frac{1}{R_{ij}} k_2^2, \end{aligned} \quad (9)$$

где $a_{ij}, b_{ij}, r_{ij}, R_{ij}$ - комплексные фитируемые константы.

Численный анализ экспериментальных данных

При анализе мы используем экспериментальные данные по дифференциальным сечениям упругого рассеяния $d\sigma_{el}/d\Omega$ [17], дифференциальным сечениям перезарядки $d\sigma_{ex}/d\Omega$ [18,19], полным сечениям σ_{tot} , σ_{el} , σ_{ex} [17,18,20,21,22,23] а также данные о величине отношения действительной и мнимой частей амплитуды упругого рассеяния вперед ρ [20,24,25]. Информация о величине $\rho(P_{lab}=0)$ получена на основе данных по сдвигу энергии и ширине $1s$ -состояния антiproтония, $\Delta E_{1s} - i\Gamma_{1s}/2$ [26,27]. Экспериментальные данные о дифференциальных сечениях усреднены по спину, и поэтому в анализе не проводится учет различных спиновых состояний.

1. Фит с униформизирующей переменной

Окончательные формулы, используемые при анализе результатов экспериментов, следующие:

s-волна

$$M_{11}^0 = a_1 z^2 + a_2$$

$$M_{22}^0 = d_1 z^2 + d_2 + d_5 \frac{1}{z^2}$$

$$M_{33}^0 = c_1 z^2 + c_2 + c_5 \frac{1}{z^2}$$

$$M_{12}^0 = f_1 z^2 + f_2$$

$$M_{13}^0 = b_1 z^2 + b_2$$

$$M_{23}^0 = e_1 z^2 + e_2$$

p-волна

$$M_{11}^1 = a_3 z^2 + a_4$$

$$M_{22}^1 = d_3 z^2 + d_4 + d_6 \frac{1}{z^2}$$

$$M_{33}^1 = c_3 z^2 + c_4 + c_6 \frac{1}{z^2}$$

$$M_{12}^1 = f_3 z^2 + f_4$$

$$M_{13}^1 = b_3 z^2 + b_4 + b_6 \frac{1}{z^2}$$

$$M_{23}^1 = e_3 z^2 + e_4$$

(10)

Минимальное число параметров, необходимых для удовлетворительного описания данных, равно 31 (из них 29 коэффициентов разложения матричных элементов M_{ij}^l в ряд и 2 эффективных параметра α_0 и α_1 , связанных с открывающимися неупругими каналами в *s*- и *p*-волнах). Их численные значения определяются при помощи процедуры минимизации по методу χ^2 для следующего набора данных: $d\sigma_{el}/d\Omega$ при $P_{lab} = 181, 287$ МэВ/с ; $d\sigma_{ex}/d\Omega$ при $P_{lab} = 183, 228$ МэВ/с ; ρ , σ_{el} , σ_{ex} , σ_{tot} при импульсах антiproтонов $P_{lab} < 600$ МэВ/с . Результаты фита представлены в таблице 1.

Глядя на графики, можно сказать, что в целом получено неплохое качественное согласие с экспериментом, особенно для кривых $\rho = \rho(P_{lab})$, где явно воспроизводится осцилляторный характер поведения, и $d\sigma_{el}/d\Omega$ при $P_{lab} = 181$ МэВ/с . При описании кривых $d\sigma_{ex}/d\Omega$ оказывается недостаточно учитывать только *s*- и *p*-волны. Для этого требуются парциальные волны с более высокими значениями l . Величины α_0 и α_1 , полученные в результате фита, можно сравнить с наиболее вероятным значением энергии образования многопионного состояния, равным $4(m_0/m_p)^2 = 4(0.7)^2 = 1.96$ [12]. Видно, что все три величины достаточно близки друг к другу.

Чтобы понять причину необычного поведения ρ , следует рассмотреть возможные $N\bar{N}$ -резонансы или связанные состояния ниже $p\bar{p}$ -порога . Положения резонансов или связанных состояний сильной части амплитуды рассеяния определяются как корни уравнений

$$Re D_l = 0, \quad \text{где} \quad D_l = \frac{\det(\hat{f}_{ij}^{-1})}{M_{33}^l - ik_3^{2l+1}}. \quad (11)$$

Результаты представлены в таблице 3.

2. Фит с динамическими полюсами

Анализировался тот же набор экспериментальных данных, что и в п.1. Из соображений простоты мы не вводили для каждого из матричных элементов разные вычеты, а ограничились лишь двумя дополнительными свободными параметрами g^0 и g^1 для s - и p - волн. Таким образом, полное число свободных параметров равно 27. Их численные значения также определялись при помощи процедуры минимизации по методу χ^2 . Окончательные величины параметров сведены в таблицу 2. Мы приводим лишь три графика для $d\sigma_{el}/d\Omega$ при $P_{lab} = 181, 287$ МэВ/с и ρ . Быстрый рост дифференциальных сечений упругого рассеяния при малых углах отвечает кулоновскому взаимодействию.

Заключение

Методы, основанные на разложениях эффективного радиуса, практически модельно-независимы, и можно считать их одной из модификаций парциально волнового анализа. Критическим в этих методах является оценка области сходимости разложений эффективного радиуса. Малость этой области делает проблематичной возможность применения таких разложений для описания существующих в настоящее время экспериментальных данных по $N\bar{N}$ -реакциям, поэтому представляется важным найти способ увеличения радиуса сходимости. В случае $N\bar{N}$ -каналов близость t -канальных сингулярностей к порогу $N\bar{N}$ приводит к необходимости явного включения в схему эффективного радиуса таких сингулярностей, а предложенный в настоящей работе метод является достаточно общим и может быть использован и в других задачах.

Еще одна возможность увеличения области сходимости - это удачное конформное преобразование для амплитуд рассеяния. Для этой цели совершается переход от переменной s (квадрат энергии в системе центра инерции) к униформизирующей переменной z , которая явным образом учитывает три существенных особенности амплитуды рассеяния вблизи $p\bar{p}$ -порога. Это точки ветвления корневого типа $s = 0, \alpha m_p^2, 4m_p^2$, отвечающие соответственно порогам кроссинг-процессов, аннигиляционных процессов и порогу упругого рассеяния. Такое преобразование позволяет

продлить разложение M -матрицы в область более высоких энергий.

Проведенный нами анализ экспериментальных данных можно считать более аккуратным, чем аналогичные анализы. Удовлетворительно описаны имеющиеся в наличии экспериментальные данные до энергий порядка 600 МэВ.

Один из авторов (М.П.Д.) признателен Ю.А.Павлович за помощь в вычислениях.

Работа выполнена при финансовой поддержке Российского фонда фундаментальных исследований (93-02-3807).

Таблица 1. Значения параметров. Фит 1

a_1	4.133 ± 0.002	d_1	-5.066 ± 0.033
a_2	2.907 ± 0.001	d_2	21.899 ± 0.023
a_3	3.994 ± 0.004	d_3	2.871 ± 0.008
a_4	2.331 ± 0.002	d_4	-0.631 ± 0.011
c_1	8.038 ± 0.008	d_5	3.139 ± 0.006
c_2	8.893 ± 0.011	d_6	0.254 ± 0.002
c_3	67.369 ± 0.207	e_1	1.956 ± 0.006
c_4	78.313 ± 0.380	e_2	5.196 ± 0.010
c_5	0.455 ± 0.002	e_3	20.829 ± 0.087
c_6	7.946 ± 0.001	e_4	-1.649 ± 0.027
b_1	6.934 ± 0.001	f_1	5.958 ± 0.004
b_2	3.732 ± 0.003	f_2	3.551 ± 0.002
b_3	22.244 ± 0.091	f_3	2.062 ± 0.005
b_4	15.081 ± 0.022	f_4	1.144 ± 0.005
b_6	0.461 ± 0.001	α_0	2.070 ± 0.007
		α_1	2.487 ± 0.004

Таблица 2. Значения параметров. Фит 2

a_{11}	$0.041 + i0.015$
a_{22}	$0.068 + i0.006$
a_{12}	$0.077 + i0.122$
r_{11}	$16.50 + i72.35$
r_{22}	$295.2 - i32.84$
r_{12}	$138.0 + i112.7$
b_{11}	$0.006 - i0.003$
b_{22}	$0.015 - i0.009$
b_{12}	$0.005 - i0.002$
R_{11}	$0.002 - i0.002$
R_{22}	$-0.001 - i0.004$
R_{12}	$0.002 - i0.003$
s_{pol}	3.77
g^0	1.40
g^1	2.38

Таблица 3. Массы и ширины резонансов. Фит 1

l	m/m_p	$m(MeV)$	$\Gamma(MeV)$
0	1.993	1870.0	10.3
0	2.013	1888.7	48.9
1	1.935	1815.7	63.8

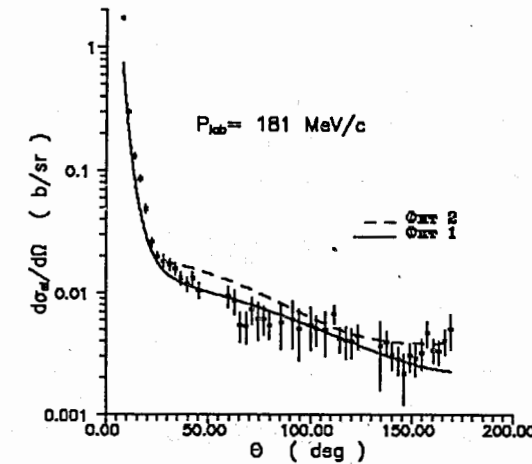


Рисунок 3. Дифференциальное сечение упругого $p\bar{p}$ -рассеяния при импульсе налетающих антипротонов $P_{lab} = 181 \text{ MeV}/c$.

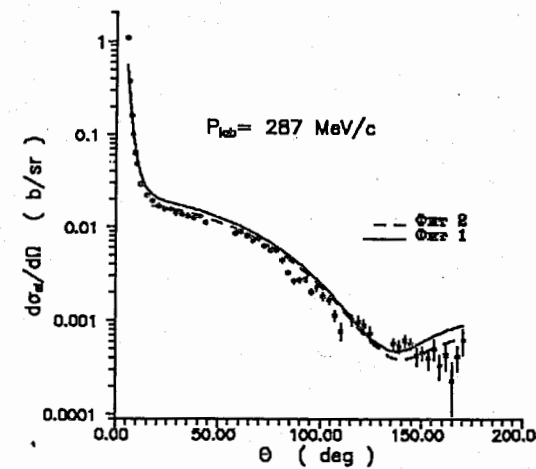


Рисунок 4. Дифференциальное сечение упругого $p\bar{p}$ -рассеяния при импульсе налетающих антипротонов $P_{lab} = 287 \text{ MeV}/c$.

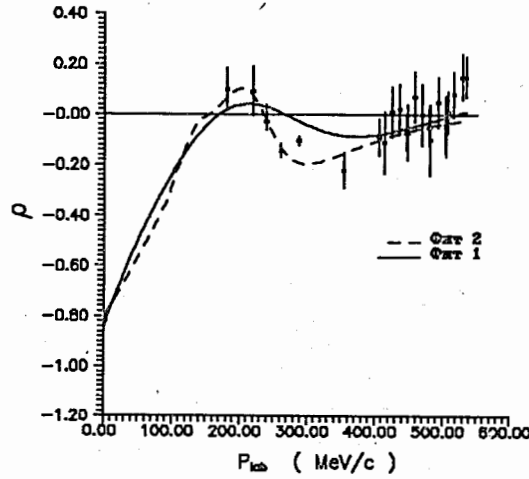


Рисунок 5. Отношение действительной и мнимой частей амплитуды упругого $p\bar{p}$ рассеяния вперед как функция импульсов налетающих антiproтонов.

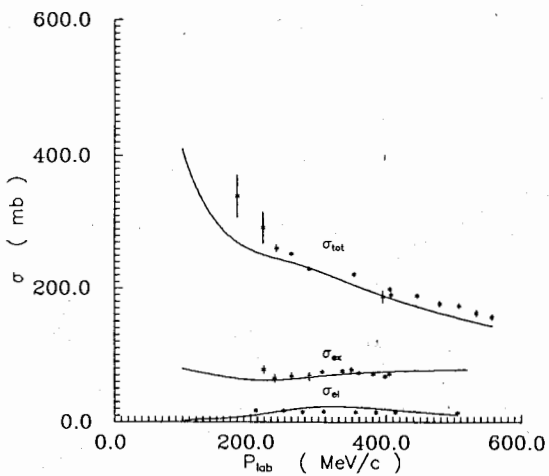


Рисунок 6. Сечения рассеяния: полное, упругое и сечение перезарядки как функции импульсов налетающих антiproтонов. Фит 1.

Литература

- [1] J.Haidenbauer et.al., Z. Phys. **A334**,467 (1989)
- [2] T.-A.Shibata, Phys. Lett. **189B**,232 (1987)
- [3] G.Q.Liu and F.Tabakin, Phys. Rev. **C41**,665 (1989)
- [4] I.S.Shapiro. Nucl. Phys. **A478**,665 (1988); O.D.Dalkarov, K.V.Protasov and I.S.Shapiro, Lebedev Physical Institute, Report 37 (1988)
- [5] B.Moussallam, Z. Phys. **A325**,1 (1986)
- [6] J.Mahalanabis, H.J.Pirner and T.-A.Shibata, Nucl. Phys. **A485**,546 (1988)
- [7] I.L.Grach, B.O.Kerbikov and Yu.A.Simonov, Phys. Lett. **208B**,309 (1988); Sov.J.Nucl.Phys. **48**,956 (1988); B.O.Kerbikov, Preprint ITEP 152 (1988)
- [8] H.J.Pirner, B.Kerbikov and J.Mahalanabis, Z. Phys. **A338**,111 (1991)
- [9] M.Ross and G.Shaw, Ann. Phys. **13**,147 (1961)
- [10] G.Shaw and M.Ross, Phys. Rev. **126**,806 (1962)
- [11] L.D.Landau and E.M.Lifshitz, Quantum Mechanics, Moscow, Nauka (1989)
- [12] V.K.Henner, V.A.Meshcheryakov, Zeit.Phys., v.345, p.215 (1993)
- [13] О.Д.Далькаров, К.В.Протасов, Физический институт им.Лебедева, препринт № 34, М. (1986) O.D.Dalkarov et.al., Int.J.Mod.Phys., v. A5, p.2155 (1990)
- [14] J.Mahalanabis et.al., preprint CERN-TH, 4833/87 (1988)
- [15] Б.В.Быковский, Д.В.Мещеряков, В.А.Мещеряков, Ядерная физика, **53**, 257 (1991)
- [16] B.O.Kerbikov, Yu.A.Simonov, preprint ITEP-38, M. (1986)
- [17] W.Bruckner et.al., Phys. Lett. **166B**,113 (1986)
- [18] W.Bruckner et.al., Phys. Lett. **169B**,302 (1986)

- [19] T.-A.Shibata, private communication (1990)
- [20] W.Bruckner et.al., Phys. Lett. **158B**,180 (1985)
- [21] K.Nakamura et.al., Phys. Rev. **D29**,349 (1984)
- [22] R.Hamilton et.al., Phys. Rev. Lett. **44**,1179 (1980)
- [23] p, \bar{p} . Compilation of cross sections. CERN, 1984
- [24] H.Iwasaki et.al., Nucl. Phys. **A443**,580 (1985)
- [25] M.Cresti, L.Peruzzo and G.Sartori, Phys. Lett. **132B**,209 (1983)
- [26] S.Ahmad et.al., Phys. Lett. **157B**,333 (1985)
- [27] T.P.Gorringe et.al., Phys. Lett. **162B**,71 (1985)
- [28] T.Ueda, Nucl.Sci.Research Conf. series. **14**,247 (1988)
- [29] T.E.Kalogeropoulos, Proc. 4th Int.Conf. on Hadron Spectroscopy, "Hadron 91", World Scientific Publishing Co. Pte.Ltd., 263 (1991)
- [30] J. Carbonell, O.D.Dalkarov, I.S.Shapiro, preprint CERN-TH.6096/91 (1991)

Рукопись поступила в издательский отдел
2 декабря 1994 года.